Elettromagnetismo

Prof. Francesco Ragusa Università degli Studi di Milano

Lezione n. 33 - 04.05.2023

Paramagnetismo
Teoria macroscopica del magnetismo
nella materia
Magnetizzazione e Correnti di Magnetizzazione
Campo H

Anno Accademico 2022/2023

- Abbiamo descritto l'effetto del campo magnetico legato al moto orbitale degli elettroni
 - Abbiamo notato che quasi tutte le sostanze (molecole) hanno un momento angolare orbitale nullo
 - ullet Abbiamo inoltre notato che gli elettroni posseggono un momento angolare intrinseco (spin) la cui proiezione lungo un asse assume due soli valori: $\pm \hbar/2$
 - Il momento magnetico intrinseco dell'elettrone è

$$\mu_{\scriptscriptstyle B}=9.3 imes10^{-24}\,{
m J/T} \qquad {
m m}=\pmrac{e\hbar}{2m_{\scriptscriptstyle o}}=\pm\mu_{\scriptscriptstyle B} \qquad \qquad \boxed{\mu_{\scriptscriptstyle B}\ {
m magnetone}\ {
m di}\ {
m Bohr}}$$

• Per il principio di esclusione di Pauli gli elettroni tendono a disporsi in coppie con momento angolare totale nullo



- Anche il momento magnetico totale sarà nullo
- In alcune molecole il numero di elettroni è dispari (ad es. NO) oppure la configurazione elettronica è tale da non avere la cancellazione dello spin per due elettroni (\mathbf{O}_2)
 - In queste sostanze un campo magnetico esterno può allineare i momenti magnetici e far comparire un momento di dipolo
 - Nello stesso verso del campo magnetico applicato
 - Nel verso opposto rispetto al diamagnetismo

ullet Abbiamo visto che un dipolo magnetico in un campo magnetico B possiede un'energia potenziale data da

$$U = -\mathbf{m} \cdot \mathbf{B}$$

- In meccanica quantistica avviene la stessa cosa, ad esempio per lo spin di un elettrone atomico
 - ullet La proiezione del momento magnetico lungo B può avere solo 2 valori: $m=\pm \mu_B$

$$U = \pm \mu_{\scriptscriptstyle B} B$$

- ullet In un materiale a temperatura T gli elettroni hanno un'energia di agitazione termica ${\sim}KT$
 - Il numero di elettroni che hanno un determinato valore del momento magnetico si calcola utilizzando la statistica di Boltzmann

$$n = a \exp[-U / kT]$$

• Introducendo le energie dalla tabella

$$n_{\text{up}} = a \exp\left[-\mu_{\text{B}} B / kT\right]$$
 $n_{\text{down}} = a \exp\left[+\mu_{\text{B}} B / kT\right]$

ullet a si determina imponendo che il numero totale di elettroni sia N

$$n_{\text{up}} + n_{\text{down}} = N$$

$$n_{\text{up}} = a \exp\left[-\mu_{\text{B}} B / kT\right]$$
 $n_{\text{down}} = a \exp\left[+\mu_{\text{B}} B / kT\right]$

• Calcoliamo la costante a

$$n_{\text{up}} + n_{\text{down}} = N$$

$$\qquad \qquad a\left(e^{-\mu_B B/kT} + e^{+\mu_B B/kT}\right) = N$$

$$a = \frac{N}{e^{-\mu_B B/kT} + e^{+\mu_B B/kT}}$$

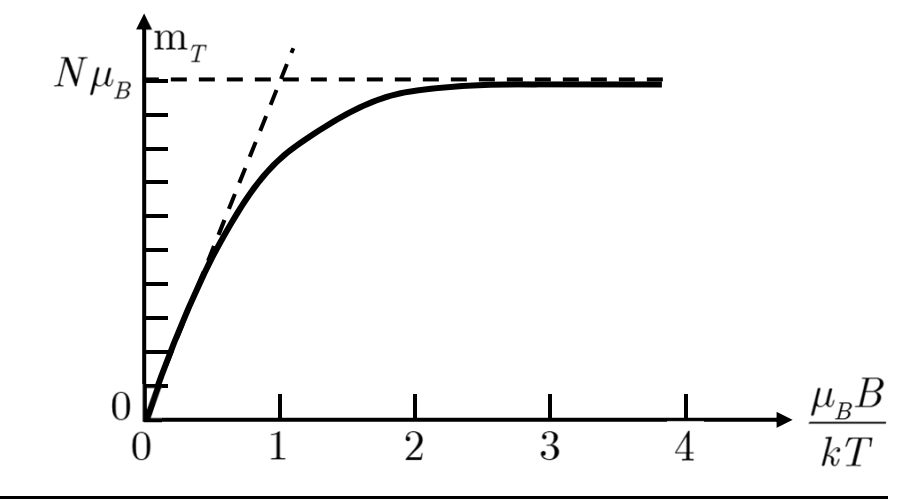
	j_z	m	$oldsymbol{U}$
up	$+\hbar/2$	$-\mu_{_B}$	$\mu_{_B}\!B$
down	$-\hbar/2$	$+\mu_{_B}$	$-\mu_{_B}B$

ullet Il momento magnetico totale del sistema di N elettroni si calcola con la somma

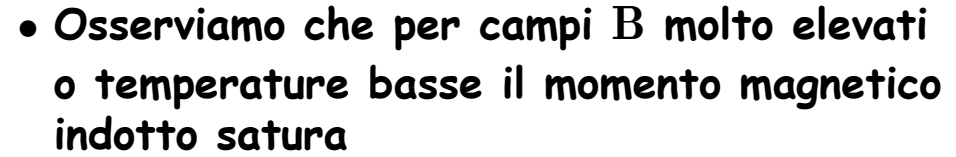
$$\mathbf{m}_{\scriptscriptstyle T} = n_{\scriptscriptstyle \mathrm{up}} \mathbf{m}_{\scriptscriptstyle \mathrm{up}} + n_{\scriptscriptstyle \mathrm{down}} \mathbf{m}_{\scriptscriptstyle \mathrm{down}} = n_{\scriptscriptstyle \mathrm{up}} \left(-\mu_{\scriptscriptstyle B} \right) + n_{\scriptscriptstyle \mathrm{down}} \left(+\mu_{\scriptscriptstyle B} \right)$$

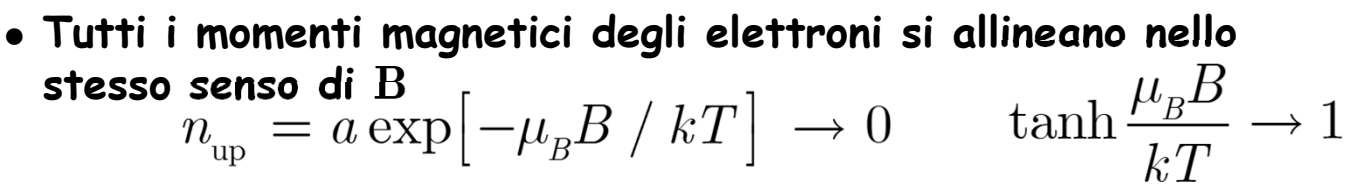
$$\mathbf{m}_{T} = N\mu_{b} \frac{e^{+\mu_{B}B/kT} - e^{-\mu_{B}B/kT}}{e^{-\mu_{B}B/kT} + e^{+\mu_{B}B/kT}}$$

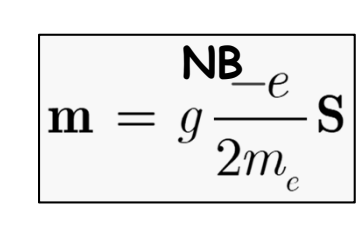
$$\mathbf{m}_{T} = N\mu_{b} \tanh \frac{\mu_{B}B}{kT}$$



- ullet La formula che abbiamo trovato fornisce il momento magnetico di un blocco di materia con N elettroni
 - \bullet Ricordiamo che il momento magnetico degli elettroni era "quantizzato" nella direzione del campo magnetico B
 - È nello stesso verso di B







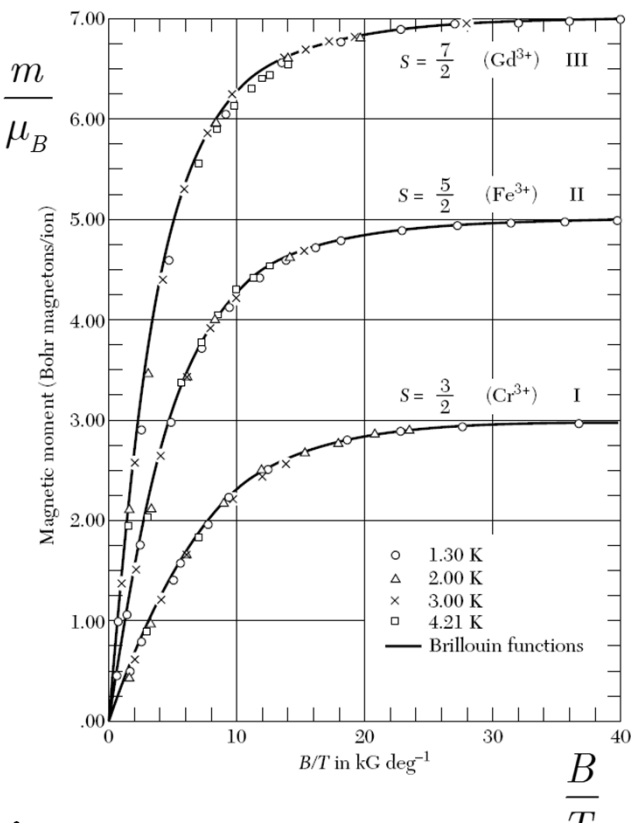
 $m_T = N\mu_b \tanh \frac{\mu_B B}{kT}$

ullet Per campi magnetici dell'ordine di $1 {
m T}$ e temperatura ambiente

• Questo è il risultato che si ottiene se si assume che il dipolo magnetico può assumere tutti i valori di energia fra $-\mu_B B$ e $+\mu_B B$

 $N\mu_{\scriptscriptstyle R}$

- La teoria descritta può essere estesa anche ad atomi e molecole con configurazioni di momento angolare più complicate
 - Il grafico mostra l'accordo fra calcoli teorici basati sui concetti descritti e dati sperimentali
 - ullet Per atomi con momento angolare $J=3/2,\,5/2,\,7/2$
 - Va sottolineato che la teoria che abbiamo discusso descrive i concetti fondamentali necessari per descrivere il paramagnetismo
 - Tuttavia per una trattazione rigorosa che riproduca esattamente i dati sperimentali occorre esaminare in maggiore dettaglio il momento angolare delle sostanze che si vogliono descrivere



- Analisi del genere sono al di là degli obiettivi del corso
- Il ferromagnetismo è un fenomeno legato anch'esso allo spin dell'elettrone
 - La descrizione microscopica del fenomeno è molto complicata
 - Daremo dei cenni dopo la trattazione fenomenologica del magnetismo nella materia

Magnetizzazione e suscettività

- Abbiamo visto che in presenza di campi magnetici esterni nella materia vengono indotti momenti di dipolo magnetico
 - Possono essere paralleli (paramagnetismo, ferromagnetismo) oppure anti-paralleli (diamagnetismo)
- Come nel caso del campo elettrico, per descrivere il magnetismo nella materia si introducono delle quantità macroscopiche
 - Le quantità macroscopiche si calcolano a partire dalle corrispondenti quantità microscopiche realizzando delle medie spaziali
 - Su volumi grandi se confrontati con i volumi atomici
 - Su volumi piccoli se confrontati con i volumi tipici del sistema macroscopico
- ullet La prima quantità importante (Magnetizzazione) viene introdotta per descrivere il momento magnetico indotto in un volume $\Delta\,V$ di materia
 - Si definisce magnetizzazione il momento magnetico totale per unità di volume
 - Il momento magnetico dovuto ai dipoli magnetici atomici

$$\mathbf{M} = \frac{1}{\Delta V} \sum_{k} \mathbf{m}_{k}$$

- ullet Nel caso generale la magnetizzazione è una funzione della posizione: $\mathbf{M}(\mathbf{r})$
- ullet Le unità di misura $\left[\mathbf{m}\right]=\mathrm{Am}^2=\mathrm{JT}^{-1}$ $\left[\mathbf{M}\right]=\mathrm{Am}^{-1}=\mathrm{JT}^{-1}\mathrm{m}^{-3}$

Magnetizzazione e suscettività

- Consideriamo adesso materiali diamagnetici o paramagnetici
 - A temperature non troppo basse e campi magnetici non troppo intensi
 - \bullet Abbiamo visto che in entrambi i casi i momenti di dipolo magnetico indotti dipendono linearmente dal campo B

$$\mathbf{m} = -N \frac{e^2 Z \overline{R_0^2}}{6m_e} \mathbf{B}$$

- $\mathbf{m} = N \underline{\mu_B} \tanh \frac{\mu_B B}{kT} \approx N \frac{\mu_B^2 B}{kT}$
- ullet Se nelle formule precedenti N diventa una densità di elettroni per unita di volume le espressioni danno la magnetizzazione
 - \bullet Si definisce suscettività magnetica $\chi_{\rm m}$ di una sostanza $_{\bf D}$

$$\mathbf{M} = \chi_{_{\mathrm{m}}} rac{\mathbf{B}}{\mu_{_{0}}}$$

- La definizione precedente è quella "logica" ma è differente da quella in uso che è definita in funzione del campo H
 - Lo vedremo in seguito

			κ_I
Material	Susceptibility	Material	Susceptibility
Diamagnetic:		Paramagnetic:	
Bismuth	-1.6×10^{-4}	Oxygen	1.9×10^{-6}
Gold	-3.4×10^{-5}	Sodium	8.5×10^{-6}
Silver	-2.4×10^{-5}	Aluminum	2.1×10^{-5}
Copper	-9.7×10^{-6}	Tungsten	7.8×10^{-5}
Water	-9.0×10^{-6}	Platinum	2.8×10^{-4}
Carbon Dioxide	-1.2×10^{-8}	Liquid Oxygen (-200° C)	3.9×10^{-3}
Hydrogen	-2.2×10^{-9}	Gadolinium	4.8×10^{-1}

Densità di corrente superficiali

- Richiamiamo la definizione di densità di corrente superficiale (vedi diapositiva 33)
 - Per definizione la corrente è il flusso della densità di corrente

$$I = \int_{S} \mathbf{J}(\mathbf{r}) \cdot \hat{\mathbf{n}} da$$

- Supponiamo per semplicità che il conduttore sia un parallelepipedo orientato come in figura
- ullet Per semplicità supponiamo che la densità di corrente J non vari nella direzione y



$$I = \int_{S} \mathbf{J}(x,z) \cdot \hat{\mathbf{n}} da = \int_{0}^{L} dx \left[\int_{0}^{d} \mathbf{J}(x,z) dz \right] \cdot \hat{\mathbf{n}}$$

ullet Definiamo la densità superficiale di corrente ${f K}$

$$\mathbf{K}(x) = \int_0^d \mathbf{J}(x,z) dz$$

• La corrente trasportata dal conduttore è pertanto

$$I = \int_0^L \mathbf{K}(x) \cdot \hat{\mathbf{n}} dx$$
 $\hat{\mathbf{n}}$ è la normale al cammino di integrazione da 0 a L

Se ${f K}$ non dipende da x

$$I = KL$$

Densità di corrente superficiali

 Riscriviamo la formula per il potenziale vettore in funzione della densità superficiale di corrente (vedi diapositiva 92)

$$\mathbf{A}(\mathbf{r}) = \frac{\mu_0}{4\pi} \int \frac{\mathbf{J}(\mathbf{r}')}{|\mathbf{r} - \mathbf{r}'|} dV' \qquad dV' = dx' dy' dz'$$

- L'integrale è esteso a tutto lo spazio
 - ullet Ovviamente contribuiscono solo le regioni in cui $J \neq 0$
- Se il conduttore è molto sottile, al limite infinitesimo è conveniente utilizzare la densità superficiale di corrente

$$\mathbf{K}(x) = \int_0^d \mathbf{J}(x, z') dz' \qquad \mathbf{A}(\mathbf{r}) = \frac{\mu_0}{4\pi} \int \frac{\mathbf{K}(\mathbf{r}')}{|\mathbf{r} - \mathbf{r}'|} da' \qquad da' = dx' dy'$$

• Per completezza diamo anche la formula del potenziale vettore nel caso di una corrente trasportata da un conduttore di sezione infinitesima (L
ightarrow 0)

$$\mathbf{I} = \int_{S} \mathbf{J}(\mathbf{r}) da \qquad \mathbf{A}(\mathbf{r}) = \frac{\mu_{0}}{4\pi} \int \frac{\mathbf{I}(\mathbf{r}')}{|\mathbf{r} - \mathbf{r}'|} dl' = \frac{\mu_{0}I}{4\pi} \int \frac{d\mathbf{l}'}{|\mathbf{r} - \mathbf{r}'|}$$

- Consideriamo un blocco di materia uniformemente magnetizzato
 - \bullet Per semplicità supponiamo che la magnetizzazione ${\bf M}$ sia diretta lungo l'asse z
 - Non ci preoccupiamo di come la magnetizzazione sia causata o mantenuta
 - \bullet Ricordiamo che la magnetizzazione M è la somma dei contributi di tutti i dipoli magnetici elementari contenuti nel blocco di materia
- ullet Suddividiamo adesso il blocco in "fette" di spessore dz e perpendicolari a M
 - Possiamo ulteriormente suddividere la fetta in tanti piccoli "cubetti"
 - Il momento di dipolo magnetico del cubetto è

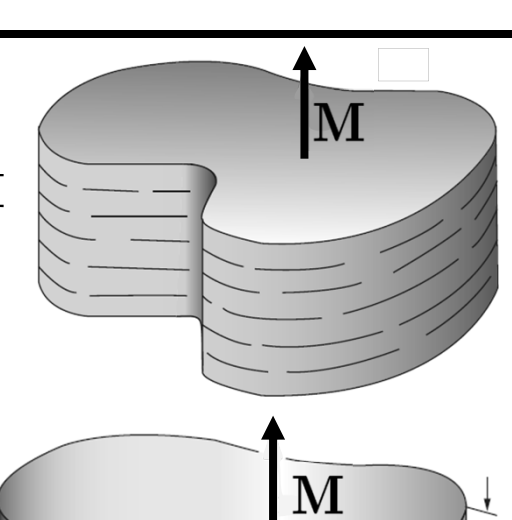
$$\mathbf{m} = \mathbf{M}dV = \mathbf{M}dadz$$

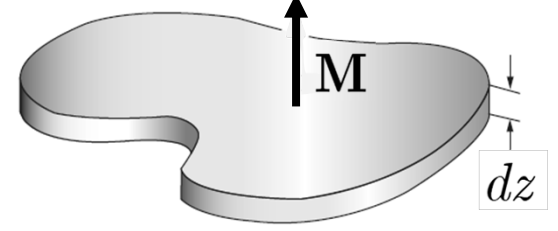
ullet Sappiamo che ogni momento di dipolo è equivalente ad una spira di area da e corrente i

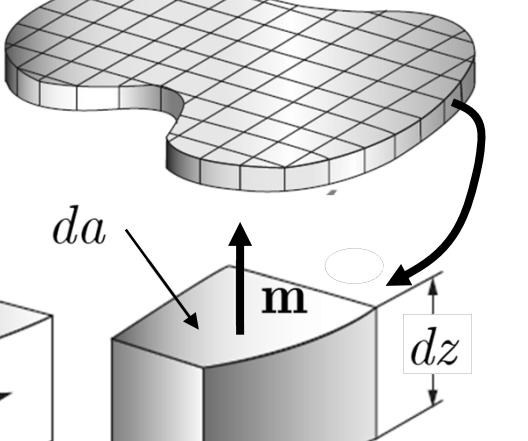
$$\mathbf{m} = ida = (Mdz)da$$

• Da cui otteniamo

$$i = Mdz$$







 \bullet Osserviamo che, dato che la magnetizzazione M è costante, tutte le correnti delle piccole spire sono uguali fra di loro

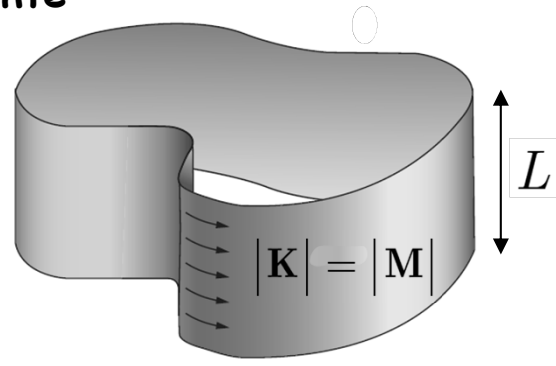
$$i = Mdz$$

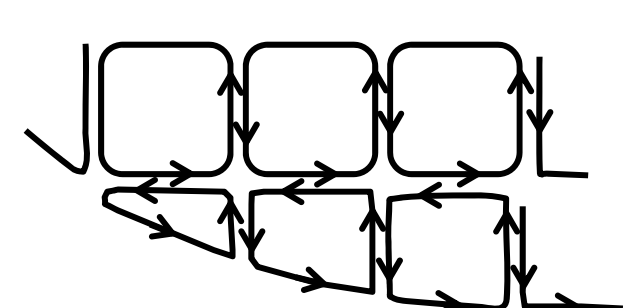


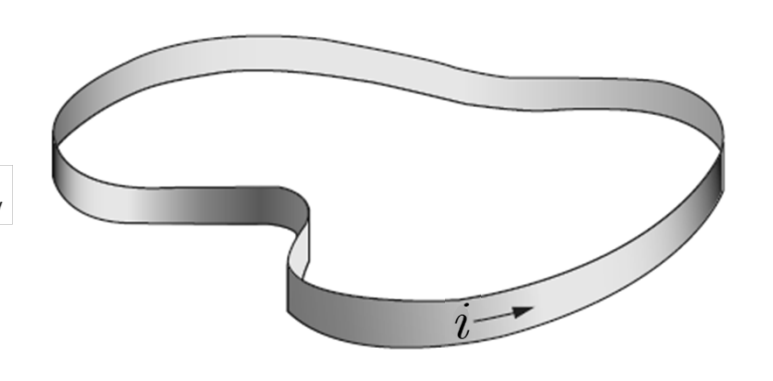
- Tuttavia le correnti ai bordi non si elidono
 - Per la discontinuità del materiale
- ullet In definitiva l'intera "fetta" di materiale genera lo stesso momento magnetico di un "nastro" di corrente superficiale i



$$I = \int_0^L M dz$$
 $I = \int_0^L K dz$ $\left| \mathbf{K}
ight| = \left| \mathbf{M}
ight|$

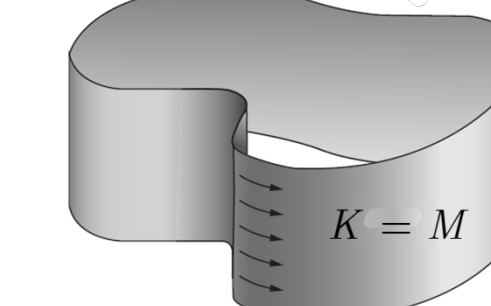






• Il campo magnetico generato dal materiale magnetizzato all'esterno del blocco è

$$\mathbf{A}(\mathbf{r}) = \frac{\mu_0}{4\pi} \int \frac{\mathbf{K}(\mathbf{r}')}{|\mathbf{r} - \mathbf{r}'|} da' \qquad \mathbf{B} = \mathbf{\nabla} \times \mathbf{A}$$

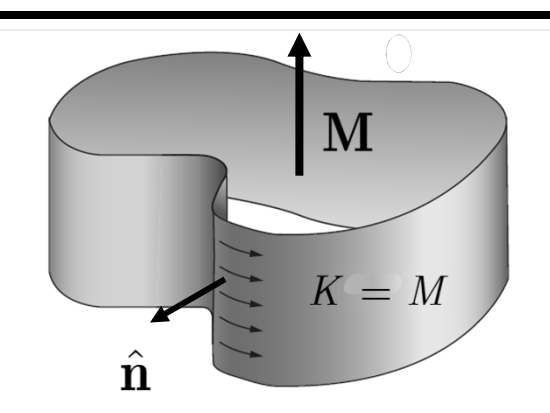


- Si tratta di un campo macroscopico
 - Non bisogna andare molto vicini alla superficie
 - Molto vicino significa a distanze dell'ordine delle dimensioni atomiche
- Consideriamo adesso il campo all'interno del blocco
 - Si tratta di una discussione analoga a quella del campo elettrico all'interno del dielettrico (diapositiva 294, I parte)
 - In quel caso avevamo utilizzato il fatto che il campo elettrostatico è conservativo
- \bullet Si potrebbe dimostrare che il campo B generato dalla corrente superficiale K è uguale alla media del campo microscopico B^\prime all'interno del blocco
 - ullet Il campo \mathbf{B}' è quello generato dai dipoli magnetici atomici
 - È un campo con forti variazioni spaziali all'interno della materia
 - A livello macroscopico è importante la media spaziale
 - ullet Per questa dimostrazione si utilizza il fatto che ${f B}$ è solenoidale

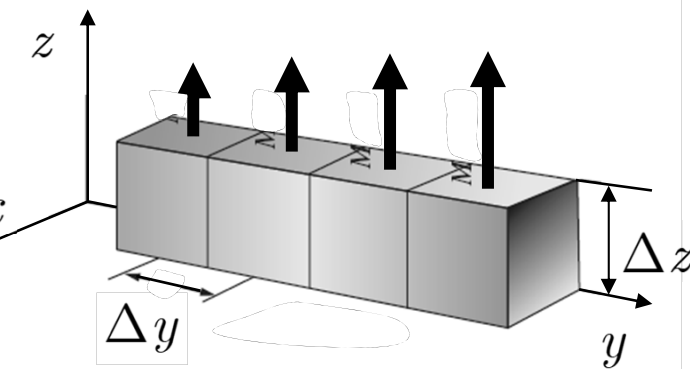
Correnti di magnetizzazione

- ullet Abbiamo visto che gli effetti della magnetizzazione possono essere descritti introducendo una densità superficiale di corrente K=M
 - Dimostreremo che questo risultato si può esprimere in generale come

$$\mathbf{K} = \mathbf{M} \times \hat{\mathbf{n}}$$



- ullet Il versore $\hat{\mathbf{n}}$ è la normale alla superficie
- ullet facile verificare che per M costante la formula riproduce il risultato che abbiamo utilizzato fino ad ora
- Se la magnetizzazione non è uniforme compaiono anche correnti all'interno del volume della materia magnetizzata
 - Per dimostrarlo consideriamo un blocco di materiale suddiviso in tanti blocchetti
 - La magnetizzazione può essere considerata uniforme in ogni blocchetto
 - ullet Assumiamo che sia diretta lungo l'asse z
 - ullet M varia spostandosi lungo l'asse y



Correnti di magnetizzazione

 Ogni blocchetto può essere sostituito da una spira percorsa da una corrente

$$i = M_{x}\Delta z$$

• La corrente nella prima spira è

$$i(y) = M_z(y)\Delta z$$

• La corrente nella seconda spira è

$$iig(y+\Delta yig)=M_zig(y+\Delta yig)\Delta zpprox M_zig(yig)\Delta z+rac{\partial M_z}{\partial y}\Delta y\Delta z$$

ullet La differenza fra le correnti delle spire genera una corrente Δi lungo x

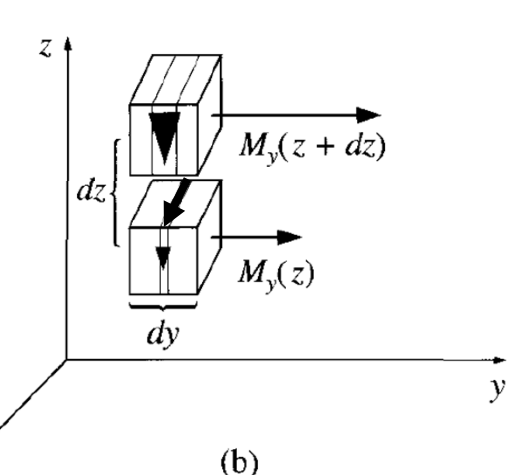
$$\Delta i = i \left(y + \Delta y \right) - i \left(y \right) = M_z \left(y \right) \Delta z + \frac{\partial M_z}{\partial y} \Delta y \Delta z - M_z \left(y \right) \Delta z$$

z

$$\Delta i = \frac{\partial M_z}{\partial y} \Delta y \Delta z$$

 \bullet Analogamente una componente della magnetizzazione lungo y che varia lungo z genera un altro contributo di corrente lungo x

$$\Delta i = -rac{\partial M_{y}}{\partial z}\Delta y \Delta z$$



Correnti di magnetizzazione

Riassumiamo il risultato

$$\Delta i = \frac{\partial M_z}{\partial y} \Delta y \Delta z - \frac{\partial M_y}{\partial z} \Delta y \Delta z$$

- Sappiamo che una corrente è il risultato del flusso di una densità di corrente attraverso una superficie
- ullet La corrente che abbiamo calcolato è nella direzione x
 - ullet Perpendicolare alla superficie $\Delta y \Delta z$
 - ullet Definisce la componente x del vettore densità di corrente

$$\Delta i = \left(\frac{\partial M_z}{\partial y} - \frac{\partial M_y}{\partial z}\right) \Delta y \Delta z = J_x \Delta y \Delta z \qquad J_x = \frac{\partial M_z}{\partial y} - \frac{\partial M_y}{\partial z}$$

$$\mathbf{\nabla} \times \mathbf{M} = \mathbf{J}_{\mathrm{M}}$$

- Occorre osservare che questa corrente è il risultato dell'orientamento dei dipoli atomici
 - ullet Una situazione analoga a quanto avveniva in elettrostatica per le cariche di volume $ho_{
 m P}=abla\cdot{
 m P}$
 - ullet A volte si usa anche l'aggettivo legato (bound) $oldsymbol{
 abla} imes \mathbf{M}=\mathbf{J}_{_{\mathrm{b}}}$

- Anche nel caso appena descritto il campo magnetico generato dalla magnetizzazione si può calcolare utilizzando le formule introdotte per il campo magnetico generato da correnti reali
- Ricaviamo adesso in modo più formale (matematico) le relazioni che abbiamo ricavato con ragionamenti fisici
 - ullet Supponiamo di avere un blocco di materia magnetizzata caratterizzata con un vettore di magnetizzazione $M({f r})$
 - ullet Consideriamo un elemento di volume dv'
 - Ha un momento magnetico

$$d\mathbf{m} = \mathbf{M}(\mathbf{r}')dv'$$

• Ricordiamo il potenziale vettore di un dipolo nella approssimazione di grande distanza (dia. 103)

$$\mathbf{A}(\mathbf{r}) = \frac{\mu_0}{4\pi} \mathbf{m} \times \frac{\mathbf{r}}{r^3} \qquad \longrightarrow \boxed{d\mathbf{A}(\mathbf{r}) = \frac{\mu_0}{4\pi} d\mathbf{m} \times \frac{\mathbf{r} - \mathbf{r}'}{|\mathbf{r} - \mathbf{r}'|^3}}$$

Dipolo nell'origine

Dipolo in \mathbf{r}'

• Il potenziale vettore di tutto il corpo si calcola integrando

$$\mathbf{A}(\mathbf{r}) = \frac{\mu_0}{4\pi} \int d\mathbf{m} \times \frac{\mathbf{r} - \mathbf{r}'}{\left|\mathbf{r} - \mathbf{r}'\right|^3} = \frac{\mu_0}{4\pi} \int \mathbf{M}(\mathbf{r}') \times \frac{\mathbf{r} - \mathbf{r}'}{\left|\mathbf{r} - \mathbf{r}'\right|^3} dv'$$

$$\mathbf{A}(\mathbf{r}) = \frac{\mu_0}{4\pi} \int \mathbf{M}(\mathbf{r}') \times \frac{\mathbf{r} - \mathbf{r}'}{\left|\mathbf{r} - \mathbf{r}'\right|^3} dv'$$
 Utilizziamo la relazione • L'operatore ∇' agisce sulla variabile \mathbf{r}'
$$\frac{\mathbf{r} - \mathbf{r}'}{\left|\mathbf{r} - \mathbf{r}'\right|^3} = \nabla' \frac{1}{\left|\mathbf{r} - \mathbf{r}'\right|}$$

- Utilizziamo la relazione

$$\begin{array}{ll} \bullet \mbox{ Otteniamo} & \mbox{A}(\mathbf{r}) = \frac{\mu_0}{4\pi} \int \mathbf{M}(\mathbf{r}') \times \boldsymbol{\nabla}' \frac{1}{\left|\mathbf{r} - \mathbf{r}'\right|} dv' \\ \bullet \mbox{ Utilizziamo l'identità (vedi diapositiva 55)} \end{array}$$

$$\nabla \times (f\mathbf{C}) = f(\nabla \times \mathbf{C}) - \mathbf{C} \times (\nabla f) \qquad \mathbf{C} \times (\nabla f) = f(\nabla \times \mathbf{C}) - \nabla \times (f\mathbf{C})$$

$$\mathbf{A}(\mathbf{r}) = \frac{\mu_0}{4\pi} \int \frac{1}{|\mathbf{r} - \mathbf{r}'|} (\nabla' \times \mathbf{M}(\mathbf{r}')) dv' - \frac{\mu_0}{4\pi} \int \nabla' \times \frac{\mathbf{M}(\mathbf{r}')}{|\mathbf{r} - \mathbf{r}'|} dv'$$

ullet La forma del primo integrale suggerisce di introdurre $oxed{f J}_{_{
m M}} = oldsymbol{
abla} imes {f M}$

$$\mathbf{J}_{\mathrm{M}} = \mathbf{\nabla} imes \mathbf{M}$$

- Ha la forma del potenziale vettore generato da una densità di corrente volumica
- Otteniamo, per il primo termine

$$\int \frac{1}{|\mathbf{r} - \mathbf{r}'|} (\mathbf{\nabla}' \times \mathbf{M}(\mathbf{r}')) dv' = \int \frac{\mathbf{J}_{\mathrm{M}}(\mathbf{r}')}{|\mathbf{r} - \mathbf{r}'|} dv'$$

$$\mathbf{A}(\mathbf{r}) = \frac{\mu_0}{4\pi} \int \frac{\mathbf{J}_{\mathrm{M}}(\mathbf{r}')}{\left|\mathbf{r} - \mathbf{r}'\right|} dv' - \frac{\mu_0}{4\pi} \int \mathbf{\nabla}' \times \frac{\mathbf{M}(\mathbf{r}')}{\left|\mathbf{r} - \mathbf{r}'\right|} dv'$$

• Per il secondo integrale utilizziamo la relazione†

$$\int \mathbf{\nabla} \times \mathbf{A} dv' = \oint_{S} \mathbf{n} \times \mathbf{A} da$$

Otteniamo

$$-\frac{\mu_0}{4\pi} \int \mathbf{\nabla}' \times \frac{\mathbf{M}(\mathbf{r}')}{\left|\mathbf{r} - \mathbf{r}'\right|} dv' = \frac{\mu_0}{4\pi} \oint_{S} \frac{\mathbf{M}(\mathbf{r}') \times \mathbf{n}'}{\left|\mathbf{r} - \mathbf{r}'\right|} da'$$

- ullet Ha la forma del potenziale ${f A}$ generato da una densità di corrente superficiale
 - Definiamo

$$\mathbf{K}(\mathbf{r}') = \mathbf{M}(\mathbf{r}') \times \mathbf{n}'$$

Otteniamo infine

$$\mathbf{A}(\mathbf{r}) = \frac{\mu_0}{4\pi} \int \frac{\mathbf{J}_{\mathrm{M}}(\mathbf{r}')}{\left|\mathbf{r} - \mathbf{r}'\right|} dv' + \frac{\mu_0}{4\pi} \oint_{S} \frac{\mathbf{K}(\mathbf{r}')}{\left|\mathbf{r} - \mathbf{r}'\right|} da'$$

• †Vedi Griffiths D. - Introduction to electrodynamics, 3° ed. - esercizio 1.60b

- ullet Nello studio del campo elettrico avevamo osservato che il campo elettrico è discontinuo quando si attraversa una densità superficiale di carica σ
 - ullet La componente normale del campo è discontinua: $E_{
 m 1n}$ $E_{
 m 2n}$ $=\sigma/arepsilon_0$
- Anche il campo magnetico ha delle discontinuità
 - Quando si attraversa una densità superficiale di corrente
 - Per il campo magnetico la discontinuità riguarda la componente tangenziale

• Consideriamo una densità di corrente superficiale K

- Consideriamo il cammino chiuso in figura
 - ullet Il senso di percorrenza del cammino e il verso di K sono legati dalla regola della vite destrorsa



$$\oint_C \mathbf{B} \cdot d\mathbf{l} = \mu_0 \int_S \mathbf{J} \cdot d\mathbf{a}$$

• Assumiamo che il tratto verticale sia di lunghezza trascurabile

$$\oint_C \mathbf{B} \cdot d\mathbf{l} = B_{1\mathrm{t}} L - B_{2\mathrm{t}} L$$
 inoltre $\int_S \mathbf{J} \cdot d\mathbf{a} = \int_0^L K dl = K L$

• Otteniamo pertanto

$$B_{1t}L - B_{2t}L = \mu_0 KL$$



$$B_{1\mathrm{t}} - B_{2\mathrm{t}} = \mu_0 K$$

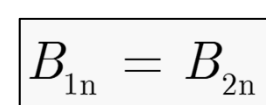
- Studiamo adesso il comportamento della componente normale
 - Dimostriamo che la componente normale si conserva
 - Ricordiamo che nel caso del campo elettrostatico era la componente tangenziale che si conservava
- ullet Consideriamo ancora una volta una densità di corrente superficiale ${f K}$
 - In questo caso consideriamo la superficie chiusa indicata in figura
 - Utilizziamo la proprietà che il flusso del campo magnetico attraverso una superficie chiusa è nullo

$$\oint_{S} \mathbf{B} \cdot d\mathbf{a} = 0$$

 Assumiamo che il contributo della superficie laterale sia trascurabile

$$B_{1n}A - B_{2n}A = 0$$





- Le due condizioni che abbiamo visto possono essere sintetizzate in un'unica relazione vettoriale
 - ${f B}_{
 m sopra} {f B}_{
 m sotto} = \mu_0 {f K} imes \hat{f n}$ Il verso di $\hat{f n}$ definisce "sopra" e "sotto"
 - ullet Osserviamo che $\mathbf{K} imes \hat{\mathbf{n}}$ non ha una componente normale alla superficie
 - $(\mathbf{K} imes \hat{\mathbf{n}}) \cdot \hat{\mathbf{n}} = 0$ La componente normale di \mathbf{B} è continua

• Illustriamo la relazione che lega la discontinuità alla eventuale densità di corrente superficiale

 $\mathbf{B}_{ ext{sopra}} - \mathbf{B}_{ ext{sotto}} = \mu_0 \mathbf{K} imes \hat{\mathbf{n}}$



ullet La normale alla superficie $\hat{\mathbf{n}}$

ullet La direzione dell'eventuale corrente superficiale $\hat{\mathbf{s}}$

ullet Il versore $\hat{\mathbf{p}}$ perpendicolare agli altri due

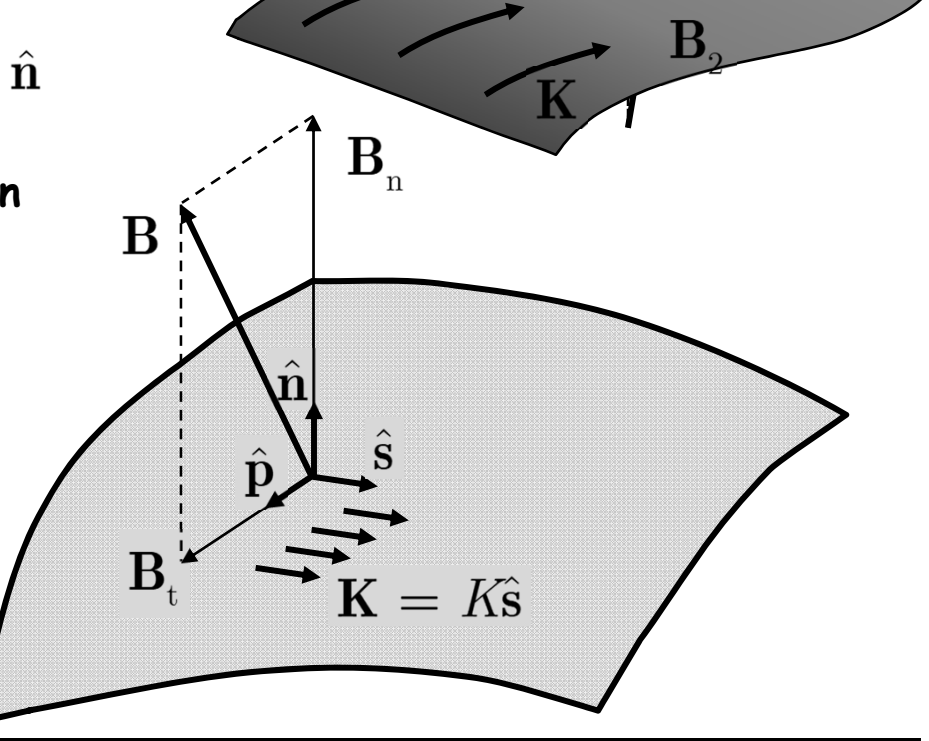
• Il prodotto

$$\mathbf{K} \times \hat{\mathbf{n}} = K \hat{\mathbf{s}} \times \hat{\mathbf{n}}$$

è nella direzione del versore $\hat{\boldsymbol{p}}$

 \bullet La componente tangenziale \boldsymbol{B}_{t} è in questa direzione

- Nella differenza $B_{\rm sopra}-B_{\rm sotto}$ le componenti normali si elidono
 - Sono uguali (continue)
 - \bullet L'eventuale discontinuità di B è nella componente tangenziale
 - È determinata dalla densità di corrente superficiale K



- Come per il campo elettrico anche per il campo magnetico si ha che il potenziale vettore è continuo
 - In realtà c'è un'arbitrarietà
 - ullet Infatti abbiamo visto che il potenziale vettore A non è univocamente determinato
 - ullet La sostituzione $\mathrm{A} o \mathrm{A} +
 abla f$ dà lo stesso campo B
 - ullet Utilizzando questa arbitrarietà si può sempre richiedere che $abla \cdot {
 m A} = 0$
 - In questo caso si dimostra facilmente che la componente normale è continua
- $\mathbf{A}_{1\mathbf{n}} = \mathbf{A}_{2\mathbf{n}}$

• Infatti per il teorema di Stokes

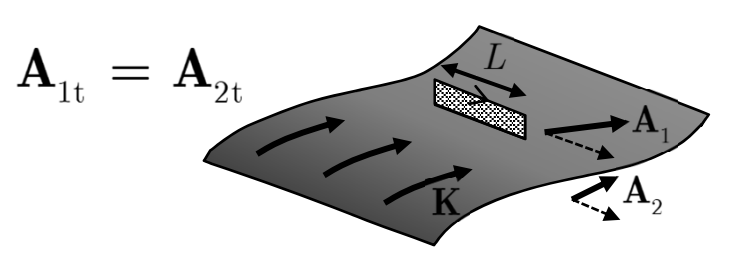
$$\oint_C \mathbf{A} \cdot d\mathbf{l} = \int_S \mathbf{\nabla} \times \mathbf{A} \cdot d\mathbf{a} = \int_S \mathbf{B} \cdot d\mathbf{a} = \Phi$$

 \bullet Se l'altezza del rettangolo scelto come cammino è infinitesima allora $\Phi=0$

• Anche la componente tangenziale è continua

- Si dimostra come di consueto che
- Per finire si può dimostrare che

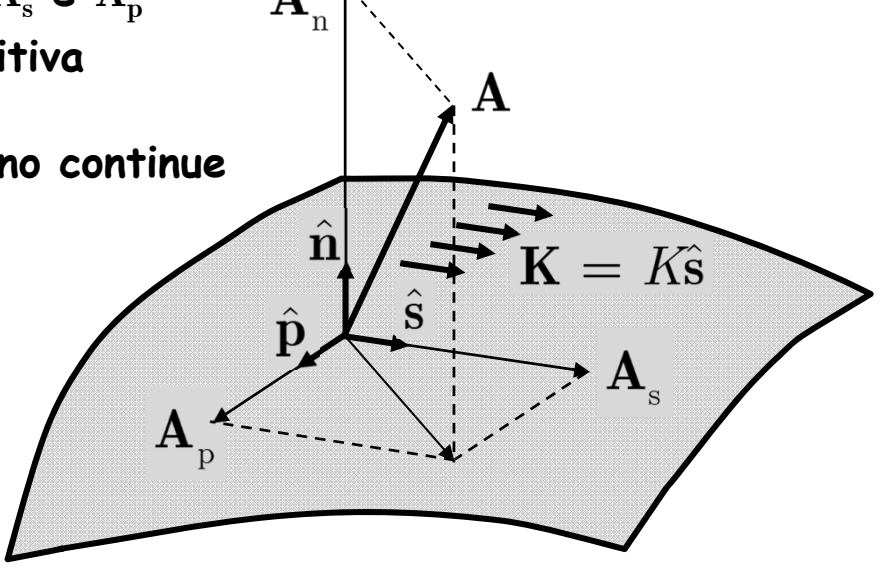
$$\frac{\partial \mathbf{A}_1}{\partial n} - \frac{\partial \mathbf{A}_2}{\partial n} = -\mu_0 \mathbf{K}$$



Boundary conditions su A

- Illustriamo l'ultima condizione sulla derivata normale
- Il vettore A può essere scomposto lungo tre direzioni perpendicolari
 - ullet La normale alla superficie $\hat{\mathbf{n}}$
 - Due direzioni tangenti alla superficie
 - ullet La direzione $\hat{\mathbf{s}}$ di una eventuale densità superficiale di corrente \mathbf{K}
 - ullet La direzione $\hat{\mathbf{p}}$ perpendicolare a $\hat{\mathbf{n}}$ e $\hat{\mathbf{s}}$
- \bullet Il vettore A ha tre componenti: $A_{\rm n}\text{, }A_{\rm s}$ e $A_{\rm p}$
 - La condizione enunciata nella diapositiva precedente dice che
 - ullet Le derivate normali di A_n e A_p sono continue
 - ullet La derivata normale di A è discontinua e nella direzione s
 - È la direzione della densità di corrente superficiale K
 - Si ha pertanto

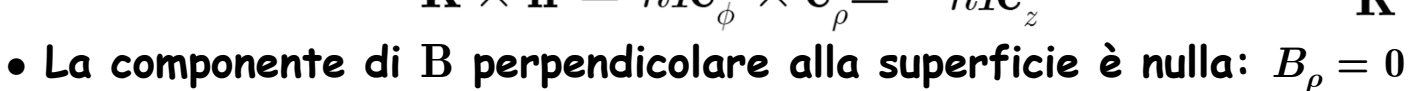
$$\frac{\partial A_{\rm 1s}}{\partial n} - \frac{\partial A_{\rm 2s}}{\partial n} = -\mu_0 K$$



Esempio: campo B del solenoide

- Verifichiamo le condizioni di discontinuità appena enunciate per un solenoide
 - Consideriamo un solenoide infinito
 - ullet Ci sono n spire per unità di lunghezza
 - ullet La corrente di una spira I
 - ullet Il campo di induzione magnetica ${f B}$ è nullo all'esterno
 - ullet All'interno vale ${f B}=\mu_{\scriptscriptstyle 0} n I {f \hat{e}}_{\scriptscriptstyle s}$
- La corrente trasportata dalle spire può essere considerata una corrente superficiale parallela alla superficie del cilindro
 - ullet La normale alla superficie $\hat{f e}$ il versore $\hat{f e}_a$
- Abbiamo pertanto

$$\mathbf{K} \times \hat{\mathbf{n}} = nI\hat{\mathbf{e}}_{\phi} \times \hat{\mathbf{e}}_{\rho} = -nI\hat{\mathbf{e}}_{z}$$

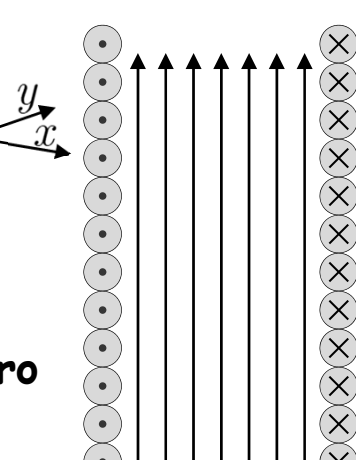


- È nulla sia all'interno che all'esterno: è continua
- ullet La componente di ${f B}$ parallela alla superficie è B_z
 - ullet hulla all'esterno $(B_z=0)$ e vale $B_z=\mu_0 nI$ all'interno

$$B_{z \, \text{ext}} - B_{z \, \text{int}} = -\mu_0 nI$$

- ullet Verso positivo di $\hat{f n}$ indica "sopra"
- Abbiamo pertanto verificato che

$$\mathbf{B}_{\text{sopra}} - \mathbf{B}_{\text{sotto}} = \mu_0 \mathbf{K} \times \hat{\mathbf{n}}$$



$$\mathbf{K} = nI\hat{\mathbf{e}}_{\phi}$$

Il campo M è discontinuo

ullet Il formalismo che abbiamo sviluppato fino ad ora permette di calcolare il campo magnetico quando si conosce la magnetizzazione M di un corpo

$$\mathbf{A}(\mathbf{r}) = \frac{\mu_0}{4\pi} \int_V \frac{\mathbf{J}_{\mathrm{M}}(\mathbf{r}')}{|\mathbf{r} - \mathbf{r}'|} dv' + \frac{\mu_0}{4\pi} \oint_S \frac{\mathbf{K}(\mathbf{r}')}{|\mathbf{r} - \mathbf{r}'|} da' \qquad \mathbf{\nabla} \times \mathbf{M} = \mathbf{J}_{\mathrm{M}} \qquad \mathbf{K}(\mathbf{r}') = \mathbf{M}(\mathbf{r}') \times \mathbf{n}'$$

- In questa espressione l'integrale di superficie è calcolato sulla superficie del materiale magnetizzato
- ullet La magnetizzazione $\mathbf{M}(\mathbf{r})$ è diversa da zero all'interno del corpo
- Nella derivazione avremmo potuto estendere l'integrale a tutto lo spazio
 - ullet In particolare in regioni in cui $\mathrm{M}(\mathrm{r})=0$
 - In questo caso l'integrale di superficie diventa nullo
- La formula si riduce a

$$\mathbf{A}(\mathbf{r}) = \frac{\mu_0}{4\pi} \int \frac{\mathbf{J}_{\mathrm{M}}(\mathbf{r}')}{\left|\mathbf{r} - \mathbf{r}'\right|} dv' = \frac{\mu_0}{4\pi} \int \frac{\mathbf{\nabla}' \times \mathbf{M}(\mathbf{r}')}{\left|\mathbf{r} - \mathbf{r}'\right|} dv'$$

- Osserviamo che in questo caso l'integrando non è sempre continuo
- ullet Sulla superficie dei corpi magnetizzati la magnetizzazione ${f M}$ è discontinua
 - ullet Le derivate di una funzione discontinua producono delle funzioni singolari (δ di Dirac) che riproducono il contributo delle correnti superficiali

• Il campo generato dalla magnetizzazione ha la stessa espressione matematica del campo generato da una corrente reale (vedi diapositiva 92)

$$\mathbf{A}(\mathbf{r}) = \frac{\mu_0}{4\pi} \int \frac{\mathbf{J}_{\mathrm{M}}(\mathbf{r}')}{|\mathbf{r} - \mathbf{r}'|} dv' \qquad \qquad \mathbf{J}_{\mathrm{M}} = \mathbf{\nabla} \times \mathbf{M}$$

 Possiamo pertanto includere il contributo della magnetizzazione nell'equazione di Maxwell che lega il campo alle correnti di conduzione (cariche libere)

$$\mathbf{
abla} imes \mathbf{B} = \mu_0 \mathbf{J}_{\scriptscriptstyle \mathrm{C}} \quad \Longrightarrow \quad \mathbf{
abla} imes \mathbf{B} = \mu_0 \left(\mathbf{J}_{\scriptscriptstyle \mathrm{C}} + \mathbf{J}_{\scriptscriptstyle \mathrm{M}} \right)$$

- Abbiamo aggiunto il suffisso "C" per esplicitare quali sono le correnti dovute ad un reale trasposto di carica elettrica
- ullet Introducendo l'espressione per J_{M} otteniamo

$$\frac{1}{\mu_0}\boldsymbol{\nabla}\times\mathbf{B}=\mathbf{J}_\mathrm{C}+\boldsymbol{\nabla}\times\mathbf{M}\qquad\boldsymbol{\nabla}\times\frac{\mathbf{B}}{\mu_0}-\boldsymbol{\nabla}\times\mathbf{M}=\mathbf{J}_\mathrm{C}\qquad\boldsymbol{\nabla}\times\left(\frac{\mathbf{B}}{\mu_0}-\mathbf{M}\right)=\mathbf{J}_\mathrm{C}$$
 • Definiamo il campo \mathbf{H} $\mathbf{H}=\frac{\mathbf{B}}{\mu_0}-\mathbf{M}$ \longrightarrow $\boldsymbol{\nabla}\times\mathbf{H}=\mathbf{J}_\mathrm{C}$

- Notiamo che H non ha le dimensioni di B
 - ullet Ha le dimensioni della magnetizzazione ($A\ m^{-1})$

- Il campo H ha nomi diversi in letteratura
 - Viene anche chiamato "campo magnetico"
 - ullet Nel nostro corso abbiamo sempre chiamato campo magnetico il campo ${f B}$
 - Chiameremo il nuovo campo "campo H"
- ullet Il campo H è analogo al campo D introdotto in elettrostatica
 - Lega il campo alle sorgenti esterne (correnti di conduzione) eliminando la dipendenza esplicita dalle sorgenti indotte (correnti di magnetizzazione)
 - \bullet A differenza del campo D il campo H è molto utile ed è usato nelle applicazioni e nel lavoro sperimentale
 - La ragione sta nel fatto che la grandezza fisica che si controlla per generare un campo magnetico è la corrente

$$\mathbf{\nabla} \times \mathbf{H} = \mathbf{J}_{\mathrm{C}} \qquad \longrightarrow \qquad \oint_{C} \mathbf{H} = i_{\mathrm{C}}$$

- Nel caso elettrostatico la grandezza fisica che si controlla sono i potenziali dei conduttori
 - ullet Il campo D è invece legato alle densità di carica reali che non sono facilmente controllabili

$$\nabla \cdot \mathbf{D} = \rho_{\rm f}$$

- \bullet Come nel caso del campo elettrostatico anche adesso bisogna sottolineare che il campo H non può sostituire B
 - Per determinare completamente un campo vettoriale è necessario definirne sia il rotore sia la divergenza
 - ullet In generale la divergenza di H non $\dot{f e}$ definita
 - Dipende dalla magnetizzazione
 - Pertanto le equazioni necessarie per risolvere il problema sono

$$\nabla \times \mathbf{H} = \mathbf{J}_{\mathrm{C}} \qquad \nabla \cdot \mathbf{B} = 0 \qquad \mathbf{B} = \mathbf{f}(\mathbf{H})$$

- Inoltre le opportune condizioni al contorno
- Se nel problema sono presenti più materiali occorre imporre le condizioni di raccordo dei campi alle superfici di passaggio da un materiale all'altro
- ullet Ricaviamo le condizioni di discontinuità (raccordo) per il campo H
 - ullet Le condizioni per il campo B sono state ricavate utilizzando le equazioni

$$\nabla \times \mathbf{B} = \mu_0 \mathbf{J}$$
 $\nabla \cdot \mathbf{B} = 0$

- \bullet Il rotore di H è formalmente identico al rotore di B e porterà a condizioni sulla componente tangenziale di H analoghe a quelle di B
- Abbiamo bisogno della divergenza di H

• Calcoliamo la divergenza di H

$$\mathbf{H} = \frac{\mathbf{B}}{\mu_0} - \mathbf{M} \qquad \Longrightarrow \qquad \mathbf{\nabla} \cdot \mathbf{H} = \frac{\mathbf{\nabla} \cdot \mathbf{B}}{\mu_0} - \mathbf{\nabla} \cdot \mathbf{M}$$
 • Otteniamo
$$\mathbf{\nabla} \cdot \mathbf{H} = -\mathbf{\nabla} \cdot \mathbf{M}$$

ullet La condizione sulla componente tangenziale si ottiene come nel caso di ${f B}$

$$\mathbf{\nabla} \times \mathbf{H} = \mathbf{J}_{\mathrm{C}} \quad \longrightarrow \quad \oint_{C} \mathbf{H} \cdot d\mathbf{l} = \int_{S} \mathbf{J}_{\mathrm{C}} \cdot d\mathbf{a}$$

$$\boxed{H_{\mathrm{1t}} - H_{\mathrm{2t}} = K_{\mathrm{C}}}$$

- ullet Per la componente normale calcoliamo il flusso di H attraverso la superficie di un cilindro di altezza trascurabile
 - Abbiamo

$$\nabla \cdot \mathbf{H} = -\nabla \cdot \mathbf{M} \longrightarrow \oint_{S} \mathbf{H} \cdot \hat{\mathbf{n}} da = -\oint_{S} \mathbf{M} \cdot \hat{\mathbf{n}} da$$

ullet Contribuiscono solo le superfici circolari A

$$\mathbf{H}_{ ext{sopra}}^{ot} - \mathbf{H}_{ ext{sotto}}^{ot} = -ig(\mathbf{M}_{ ext{sopra}}^{ot} - \mathbf{M}_{ ext{sotto}}^{ot}ig)$$